

## FICHAS COMPUTAÇÃO GRÁFICA

**4** Considere que se pretende adicionar uma câmara no modo explorador numa aplicação em OpenGL. Apresente os cálculos, considerando coordenadas esféricas, para determinar a primeira componente da função `gluLookAt` (a posição da câmara) assumindo que a câmara está sempre a olhar para a origem. Considere um ângulo vertical  $\alpha$ , e um ângulo horizontal  $\beta$ . Ilustre graficamente os cálculos efectuados.

$Y = \sin(\beta) * \text{radius}$   
 $X = \sin(\alpha) * \cos(\beta) * \text{radius}$   
 $Z = \cos(\alpha) * \cos(\beta) * \text{radius}$   
\_\_\_\_\_ `gluLookAt(x,y,z,0,0,0,1,0)`

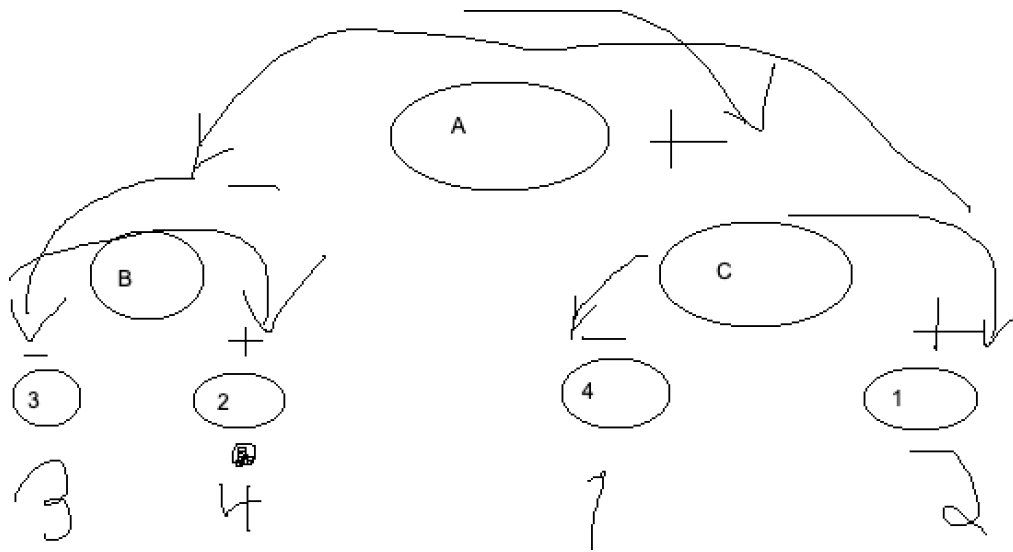
**5** Considere que se pretende adicionar uma câmara no modo FPS numa aplicação em OpenGL. Apresente os cálculos, considerando coordenadas esféricas, para determinar a segunda componentes da função `gluLookAt` (o ponto para onde está a olhar) considerando um ângulo vertical  $\alpha$  e um ângulo horizontal  $\beta$ . Assuma que a câmara se encontra posicionada no ponto  $P(x,y,z)$ . Ilustre graficamente os vectores e pontos considerados.

\_\_\_\_\_  $\text{Posicao} = (x,y,z)$   
\_\_\_\_\_  $\text{dirY} = \sin(\beta)$   
\_\_\_\_\_  $\text{dirX} = \sin(\alpha) * \cos(\beta)$   
\_\_\_\_\_  $\text{dirZ} = \cos(\alpha) * \cos(\beta)$   
\_\_\_\_\_ `gluLookAt(x,y,z,x+dirX,y+dirY,z+dirZ,0,1,0)`

## **6**     // primeira esfera segue a câmara, sempre à sua frente

\_\_\_\_\_ a) V. Vai ser static com a câmara  
\_\_\_\_\_ b) F. Assumindo que a câmara fica sempre com a posição dada ficamos com  $10-3 = 7$  para obter a posição da esfera  
\_\_\_\_\_ c) V. A câmara está de costas para a segunda esfera  
\_\_\_\_\_ d) V. A segunda esfera é sempre tapada pela primeira esfera  
\_\_\_\_\_ e) F. A segunda esfera estará na posição  $(0,0,3)$  no espaço camara uma vez que a camara terá direção de olhar no sentido do Z positivo, logo a segunda esfera estará atrás da camara, sendo que a primeira está sempre a frente com posição fixa  $(0,0,-3)$  no espaço de camara.

7



8

$$\begin{aligned}
 X &= x - x_1 \\
 Z &= z - z_1 \\
 h_{\text{Cima}} &= h(p(x_1, z_1)) * (1 - X) + h(p(x_2, z_1)) * X \\
 h_{\text{Baixo}} &= h(p(x_1, z_2)) * (1 - X) + h(p(x_2, z_2)) * X \\
 h_{\text{Final}} &= h_{\text{Cima}} * (1 - Z) + h_{\text{Baixo}} * Z
 \end{aligned}$$

## FICHA 2 - Curvas e Superfícies

1 Considere que se pretende

unir duas curvas cúbicas de

Bezier. Quais são as restrições

que devem ser impostas aos

pontos de controlo de cada

curva para:

\_\_\_\_\_ 1.1 Último ponto da primeira curva deve coincidir com o primeiro da segunda.

\_\_\_\_\_ 1.2 O antepenúltimo ponto da primeira curva, o último (e primeiro da segunda curva) e segundo ponto da segunda curva devem encontrar-se todos sobre o mesmo segmento de reta.

1.3 Igual à 1.2? Mas a distância entre os pontos tem de ser a mesma

**2 – Considere uma curva de Bezier. De um ponto de vista geométrico qual a relevância da soma dos pesos atribuídos a cada ponto de controlo ser sempre 1 para todo o t, sendo todos os pesos positivos?**

Esta restrição garante que a curva se encontra sempre dentro da caixa definida pelos 4 pontos, facilitando o culling pois basta ver se a caixa se encontra fora do view frustum.

**3 Considere um ponto numa curva de Catmull-Rom. para orientar correctamente um modelo cuja "frente" esteja orientada para o eixo dos Z, é necessário construir uma matriz de rotação, partindo do valor da derivada da curva e de um valor para o vector "up" inicial.**

**3.1 - Descreva matematicamente os passos necessários para construir a matriz.**

$$\begin{aligned} X_i &= p'(t) \\ Z_i &= X_i * Y_{(i-1)} \\ Y_i &= Z_i * X_i \end{aligned}$$

$$M = \begin{bmatrix} X_x & Y_x & Z_x & 0 \\ X_y & Y_y & Z_y & 0 \\ X_z & Y_z & Z_z & 0 \\ 0 & 0 & 0 & 1 \end{bmatrix}$$

**3.2 – Utilizando esta matriz, qual o efeito que se obtém se o objecto estiver inicialmente virado para o eixo do X? E como lidar com esta situação?**

O objeto vai andar de lado, para corrigir isso devemos alterar os eixos X e Z nos cálculos apresentados acima de modo a que o objeto ande sempre a apontar para X.

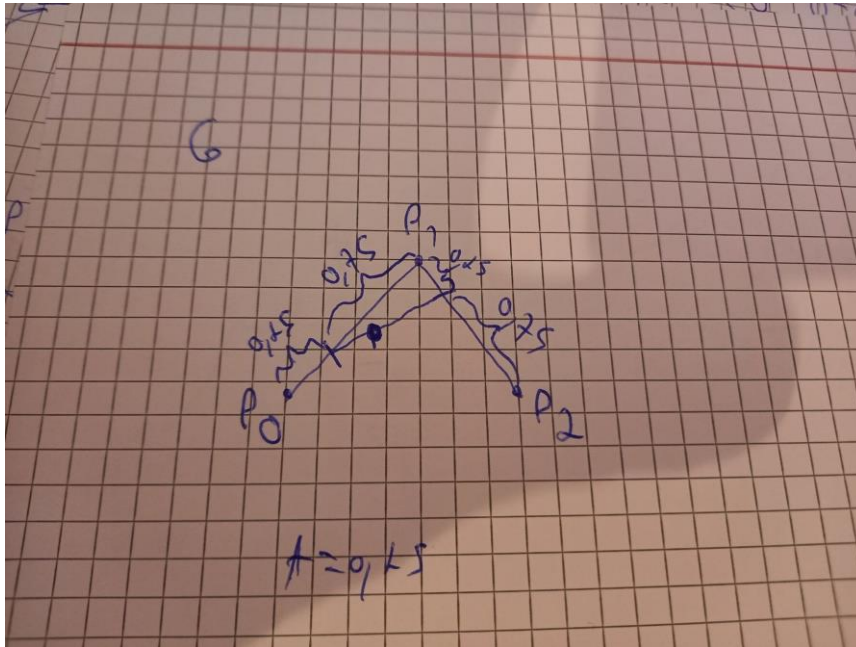
**4 - Descreva matematicamente o processo da obtenção do vector normal a uma superfície cúbica de Bezier.**

Deve-se calcular a derivada em relação a U e em relação a V no ponto da superfície. De seguida, obtém-se a normal multiplicando os dois vetores das derivadas e normalizando o resultado.

**5 - Uma curva quadrática só tem três pontos de controlo. Derive a fórmula do cálculo dos pontos para curvas de grau 2.**

$$\begin{aligned} P_{01} &= P_0 * (1-t) + P_1 * t \\ P_{12} &= P_1 * (1-t) + P_2 * t \\ P &= P_{01} * (1-t) + P_{12} * t \end{aligned}$$

6



### FICHA 3 - Iluminação

1

Quarta componente do vetor p

1.0 é ponto

0.0 é direcional

\_\_\_\_\_ **a)** F. A posição global da luz 1 é a mesma independentemente da posição da câmara

\_\_\_\_\_ **b)** F. À medida que a posição da câmara se modifica o espaço câmara também se modifica o que causa uma mudança na posição da câmara à luz 1

\_\_\_\_\_ **c)** V.

\_\_\_\_\_ **d)** V.

\_\_\_\_\_

\_\_\_\_\_ **e)** V.

\_\_\_\_\_ **f)** V.

\_\_\_\_\_ **g)** F. UpVector inverte o eixo o que faz com que a câmara veja o mundo ao contrário. E a posição da luz seja diferente.

**2 -** Enumere e caracterize as diferentes componentes da cor utilizadas nos materiais em OpenGL.

Difusa- A luz é refletida em todas as direções  
Especular- A luz é refletida apenas na direção onde bate  
Ambiente- O objeto tem luz refletida pelos objetos à volta  
Emissiva- O objeto emite luz

**3 - Considere duas das componentes da equação de iluminação: difusa e especular. Apresente a equação de cada componente suportada por um diagrama indicando claramente os elementos envolvidos na equação.**

$$I_{\text{difusa}} = L_d * K_d * \cos(\alpha)$$

$L_d$  -> Intensidade da luz incidente

$K_d$  -> Cor do objeto

$\alpha$  -> ângulo de incidência da luz

$$I_{\text{especular}} = L_s * K_s * \cos(\sigma)^s$$

$L_s$  -> Intensidade da luz incidente

$K_s$  -> Cor especular do objeto (normal é ser branca)

$\sigma$  -> ângulo de reflexão da luz

$s$  -> shininess (determina o tamanho da mancha brilhante)

Quanto maior for shininess menor a mancha especular

**4 - Os cálculos de iluminação beneficiam do facto de os vectores envolvidos serem vectores unitários. Justifique porquê.**

Caso ambos os vetores da normal e da fonte de luz estejam normalizados pode-se substituir o cosseno pelo produto interno dos mesmos.

**5 - Descreva as características e limitações do modelo de iluminação de Gouraud com interpolação. De que forma o modelo de Phong resolve os problemas associados a essas limitações?**

O modelo de iluminação Gouraud promove a interpolação de cores, tal causa a dificuldade em apresentar a componente especular pois caso tenhamos um triângulo gigante a componente especular deste, assumindo que apenas seria apresentada no centro, não irá aparecer pois irá ser usada uma interpolação de cores dos vértices onde se vai verificar que a componente especular não existe, assim essa interpolação vai dar como resultado a falta de especularidade no objeto. O modelo de Phong por outro lado utiliza a interpolação de normais dos vértices para cada píxel, desta forma iremos observar uma componente especular próxima daquilo que esperaríamos ver na realidade.

**6**

hor =  $p_4 - p_2$  com func h para saber o y => hor = ( $p_{4x} - p_{2x}$ ,  $h_{p4} - h_{p2}$ ,  $p_{4z} - p_{2z}$ )

ver =  $p_3 - p_1$  com func h para saber o y => ver = ( $p_{3x} - p_{1x}$ ,  $h_{p3} - h_{p1}$ ,  $p_{3z} - p_{1z}$ )

$nP = \text{ver} * \text{hor}$  (Usar regra da mão direita para saber a ordem)

Normal = normalize( $nP$ )

**7**

**Com uma luz direccional, a intensidade emitida por todos os pixels de um triângulo é sempre igual.**

\_\_\_\_\_ a) V. Assumindo que o triângulo forma um ângulo de 90 graus com a direção da luz

emitida.

**A componente difusa da iluminação depende somente do vector da direcção da luz.**

\_\_\_\_\_ **b)** F. Não existe informação sobre a luz incidente pois a direcção da luz é um vetor normalizado.

**A componente especular depende somente da posição da câmara.**

\_\_\_\_\_ **c)** F. Depende também da intensidade de incidência da luz, da cor especular do objeto, e da shininess do mesmo

**A intensidade da componente especular é mínima quando a posição da luz coincide com a posição da câmara.**

\_\_\_\_\_ **d)** F. Desta forma o ângulo formado entre as duas seria 0 o que se iria traduzir em  $\cos(0) = 1$

**A intensidade da componente difusa é máxima quando a normal e a direcção que aponta para a luz coincidem.**

\_\_\_\_\_ **e)** V. Desta forma o ângulo formado entre as duas seria 0 o que se iria traduzir em  $\cos(0) = 1$

**Uma luz pontual nunca ilumina de forma igual todos os vértices de um triângulo.**

\_\_\_\_\_ **f)** F. Assumindo que a distância é muito grande como sol para a Terra, a iluminação num ponto alto da Terra será a mesma do que num ponto ao nível do mar.

**8 - Distinga, de um ponto de vista computacional, os modelos de shading de Phong e Gouraud.**

Em cenas modernas, compostas por um número de triângulos superior ao número de pixels conseguimos obter resultados melhores usando Phong, no entanto o modelo de Gouraud funciona melhor quando temos um número de pixels superior ao número de triângulos.

**9 - Distinga de um ponto de vista qualitativo, considerando a componente especular, os modelos de shading de Phong e Gouraud.**

Refer to 5

**10 - O modelo de Gouraud apresenta problemas quando nenhum dos vértices de um triângulo parcialmente iluminado recebe luz. Diga de que forma o modelo de Phong resolve este problema.**

\_\_\_\_\_ Refer to 5

**11 e 12 - O modelo Flat assume que a luz e a camara está infinitamente distante. Justifique porquê**

\_\_\_\_\_ A luz está infinitamente distante, de modo que os raios de luz para cada ponto dentro do triângulo são paralelos, portanto, chegam com a mesma direcção, o que implica que o termo cosseno é o mesmo para todos os pontos do triângulo. Esse poderia ser o caso se estivermos considerando o sol como a fonte de luz de nossa cena;

A camara também está infinitamente distante (isso pode ser um problema ), de modo que o cálculo do realce especular fornece os mesmos resultados para todos os pontos dentro de um triângulo; O modelo geométrico do triângulo é na verdade uma representação precisa do objeto que estamos tentando renderizar (pode ser que o boneco de neve seja na verdade uma escultura facetada!).